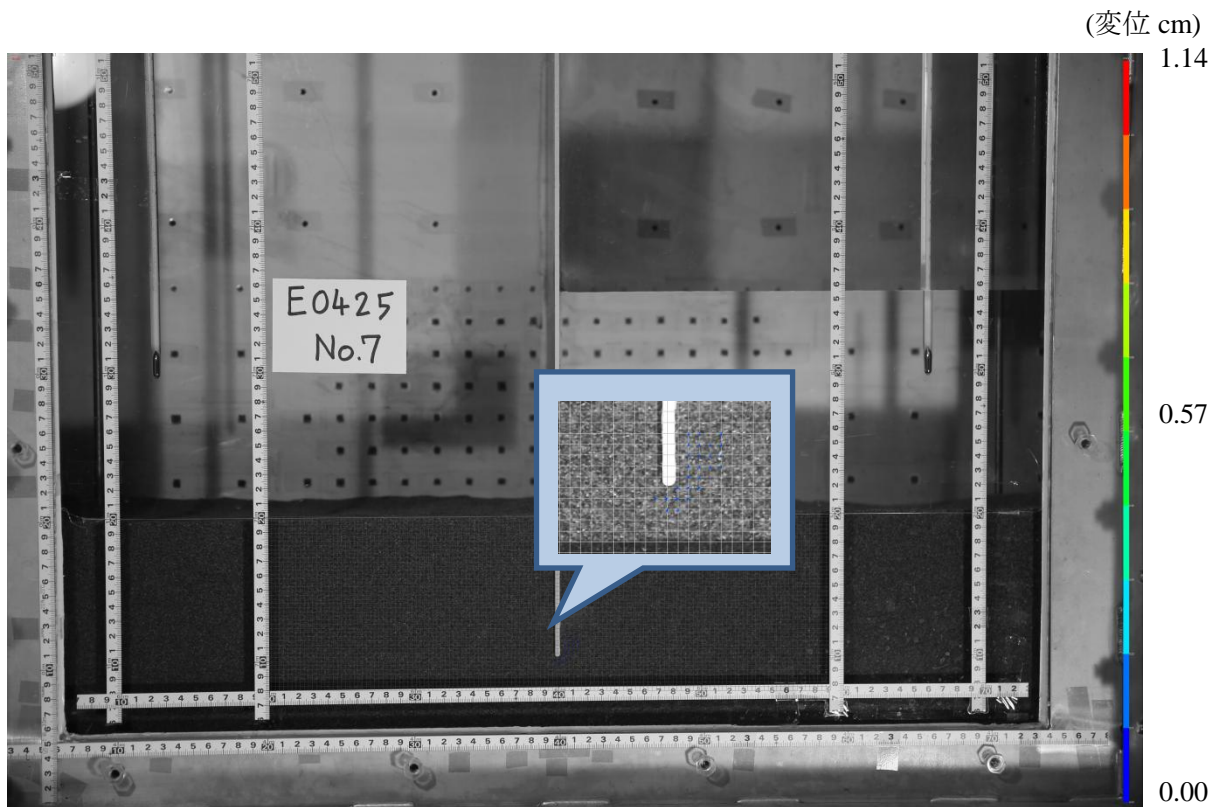


報告：二次元矢板締切り地盤の浸透破壊における PIV 解析と地盤形状の変化 (本文18～21ページ参照)

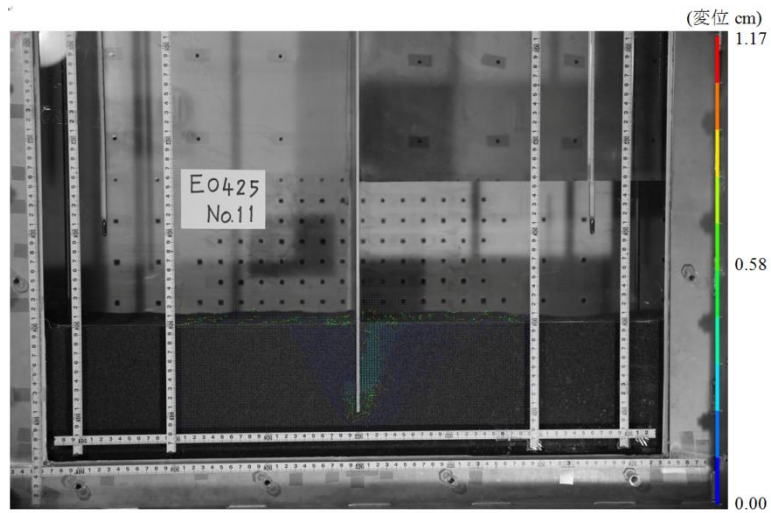
実験 E0425 の PIV 解析結果

実験条件($T_1=19.90$ cm, $D_1=9.93$ cm, $T=20.08$ cm, $D=10.12$ cm, $d=0.00$ cm, $D_r=49.5\%$)

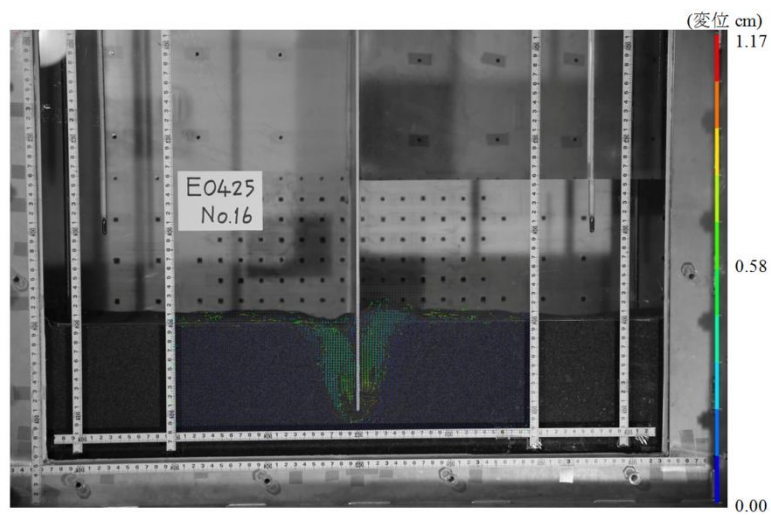
各種限界水頭差($H_{piv}=24.742$ cm, $H_d=26.727$ cm, $H_y=26.382$ cm, $H_f=30.417$ cm)



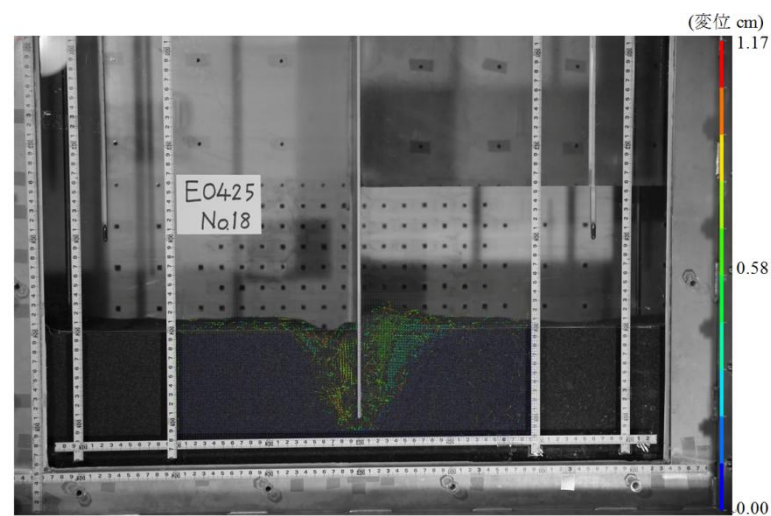
口絵写真-1 PIV 解析結果(実験 E0425; $H_{piv}=24.742$ cm のとき)



(a) $H = 26.727$ cm (変形開始時水頭差)



(b) $H = 29.047$ cm (地盤変形がある程度進んだ状態)



(c) $H = 29.994$ cm (破壊の2段階前)

口絵写真-2 地盤変形後の PIV 解析結果 (実験 E0425)